

# О СЕМЕЙСТВАХ ПЛОСКИХ ПОЛИНОМОВ ЛИТЛВУДА С УНИМОДУЛЯРНЫМИ КОЭФФИЦИЕНТАМИ

А.А.Приходько

Аннотация. В работе изучаются унимодулярные комплексные полиномы вида

$$P(z) = a_0 + a_1 z + \dots + a_n z^n, \quad \text{где } |a_k| = 1.$$

Литлвуд в 1966 г. предложил исследовать оценки норм унимодулярных полиномов, а также полиномов с коэффициентами  $\{-1, +1\}$  и  $\{0, 1\}$  и, в частности, поставил вопрос о существовании унимодулярного полинома, плоского на единичной комплексной окружности. Это означает, что  $(n+1)^{-1/2}|P(z)| \rightarrow 1$  для  $|z| = 1$ , когда степень полинома  $n \rightarrow \infty$ . Основная задача настоящей работы — установить существование параметрических семейств плоских полиномов Литлвуда

$$P^{(t)}(z) = a_0^{(t)} + a_1^{(t)} z + \dots + a_n^{(t)} z^n, \quad |a_k^{(t)}| = 1, \quad a_k^{(t+s)} = a_k^{(t)} \cdot a_k^{(s)},$$

в случае, когда  $t$  пробегает конечную арифметическую прогрессию  $t \in [t_0, t_1] \cap \mathbb{Z}$ , где  $0 \ll t_0 \ll t_1$ . В основу конструкции семейств  $P^{(t)}(z)$  положено исследование эргодических свойств динамических систем, возникающих в связи с методом суммирования Ван дер Корпута. Работа выполнена при поддержке CNRS Normandie, гранта РФФИ № 11-01-00759-а и гранта по поддержке ведущих научных школ № НШ-5998.2012.1.

*Ключевые слова:* квадратичные суммы Гаусса, полиномы Литлвуда, плоские полиномы, произведения Рисса, спектральные инварианты динамической системы, представления Купмана, метод стационарной фазы, метод Ван дер Корпута.

## 1. ВВЕДЕНИЕ

В статье [17] Литлвуд поставил вопрос о том, существует ли комплексный полином  $P(z) = a_0 + a_1 z + \dots + a_n z^n$  с унимодулярными коэффициентами  $|a_k| = 1$  степени  $n \geq 1$ , удовлетворяющий условию

$$\forall z \in \mathbb{C} \quad |z| = 1 \quad \Rightarrow \quad |(n+1)^{-1/2}|P(z)| - 1| < \varepsilon$$

для любого наперед заданного  $\varepsilon > 0$ ? Такой полином мы называем  $\varepsilon$ -ультраплоским. Нетрудно привести пример унимодулярного полинома, обладающего указанным свойством не в каждой точке единичной окружности  $S^1 = \{z \in \mathbb{C} : |z| = 1\}$ , а в среднем, когда отклонение  $(n+1)^{-1/2}|P(z)|$  от единицы измеряется нормой в пространстве  $L^1(S^1)$ . В то же время, вопрос о построении полиномов,  $\varepsilon$ -ультраплоских на всей единичной окружности, оставался открытым до 1980 г. Положительный ответ дал Кахан [11], используя при этом конструкцию, допускающую оценку скорости аппроксимации  $\varepsilon_n = O(n^{-1/17} \sqrt{\log n})$ , где  $n = \deg P$ .

Обозначим как  $\mathcal{G}_n$  класс полиномов с унимодулярными коэффициентами степени  $n$ ,  $\mathcal{L}_n$  — подкласс в  $\mathcal{G}_n$  полиномов с коэффициентами из множества  $\{-1, 1\}$  (см. [29]) и  $\mathcal{M}_q$  — семейство полиномов с коэффициентами из  $\{0, 1\}$  вида

$$\mathcal{M}_q = \{Q(z) = q^{-1/2}(z^{\omega_0} + \dots + z^{\omega_{q-1}}) : \omega_k \in \mathbb{Z}\}.$$

До сих пор открыт вопрос о существовании ультраплоских полиномов в  $\mathcal{L}_n$ ,  $n \geq 1$ , а также вопрос о существовании  $L^1$ -плоских тригонометрических сумм  $Q(z) \in \mathcal{M}_q$ ,  $q \geq 2$ . Задача об исследовании свойств полиномов Литлвуда обладает множеством различных

приложений в анализе и теории чисел [2, 15, 21, 23, 24, 29] и, кроме того, имеет глубокие взаимосвязи с теорией динамических систем и спектральной теорией [1, 6, 9, 26].

**1.1. Спектральные инварианты динамических систем.** Пусть  $T$  — обратимое сохраняющее меру преобразование стандартного пространства Лебега  $(X, \mathcal{B}, \mu)$ , где  $\mathcal{B}$  — сигма-алгебра измеримых подмножеств фазового пространства  $X$  и  $\mu$  — вероятностная мера, определённая для множеств из  $\mathcal{B}$ . В силу теоремы Рохлина [28] можно считать, что пространство  $X$  изоморфно отрезку  $[0, 1]$  с мерой Лебега. Унитарный оператор Купмана  $\hat{T}$  (см. [19]) определяется как линейный оператор в пространстве  $L^2(\mu)$ , осуществляющий сдвиг вдоль траекторий динамической системы, заданной преобразованием  $T$ ,

$$\hat{T}: f(x) \mapsto f(Tx).$$

Оператор  $\hat{T}$  является унитарным в сепарабельном гильбертовом пространстве  $L^2(\mu)$ . Каждый унитарный оператор в силу спектральной теоремы однозначно с точностью до унитарной эквивалентности задаётся мерой максимального спектрального типа  $\sigma$  и функцией кратности  $M: S^1 \rightarrow \mathbb{C}$ . В случае, когда унитарный оператор  $\hat{T}$  является оператором Купмана, о паре  $(\sigma, M(z))$  говорят, как о *спектральных инвариантах* динамической системы  $(T, X, \mathcal{B}, \mu)$ . Отметим, что задачи, обсуждаемые в нашей работе, как правило возникают при исследовании систем с *простым спектром*, для которых  $M(z) \equiv 1$ . Мера максимального спектрального типа может быть вычислена по следующей формуле, где  $f_0$  — некоторый циклический вектор для  $\hat{T}$ ,

$$\forall k \in \mathbb{Z} \quad \int_{S^1} z^k d\sigma = \langle \hat{T}^k f_0, f_0 \rangle.$$

Полиномы с ограничениями на коэффициенты, аналогичные полиномам Литлвуда возникают в широком классе динамических систем, среди которых мы отметим определённый Вершиком класс адических систем [32, 33], динамические системы конечного ранга (см. [12, 13], [1] и [26]), а также обобщённые морсовские системы [6, 9]. В работах [1, 4, 13, 22] рассмотрен класс *динамических систем ранга 1* (мы расскажем о них подробнее в разделе 2.1), порождающих *обобщённые произведения Рисса* полиномов Литлвуда с коэффициентами  $\{0, 1\}$ , сходящиеся в слабой топологии к спектральной мере  $\sigma$  динамической системы:

$$\prod_{N=1}^M |Q_N|^2 \xrightarrow{w} \sigma \quad \text{при } M \rightarrow \infty, \quad Q_N(z) \in \mathcal{M}_{q_N},$$

Бурген [4] доказал сингулярность произведений Рисса для класса автоморфизмов ранга 1 со случайными параметрами конструкции, предложенного Орнштейном в работе [22]. До сих пор остаётся открытым вопрос о том, существуют ли действие группы  $\mathbb{Z}$  ранга 1 с абсолютно непрерывной компонентой в спектре, а также вопрос о том, существует ли на группе  $\mathbb{T} = \mathbb{R}/\mathbb{Z}$  произведение Рисса полиномов с коэффициентами  $\{0, 1\}$  (из классов  $\mathcal{M}_q$ ), слабо сходящееся к мере, имеющей абсолютно непрерывную компоненту. Вопрос о возможности построения плоских полиномов в классе  $\mathcal{M}_q$  также остаётся открытым. Недавно вопрос о существовании плоских полиномов был положительно решён [26] в классе  $\mathcal{M}^{\mathbb{R}}$  полиномов с коэффициентами  $\{0, 1\}$  на группе  $\mathbb{R}$ , а именно, для любого компактного множества  $\mathcal{K} \subset \mathbb{R}$  и  $\varepsilon > 0$  существует полином

$$Q^*(t) = \frac{1}{\sqrt{q}}(e^{i\omega_0 t} + e^{i\omega_1 t} + \dots + e^{i\omega_{q-1} t}), \quad \omega_j \in \mathbb{R},$$

такой, что

$$\| |Q^*(t)| - 1 \|_{L^1(\mathcal{K})} < \varepsilon.$$

Интересно отметить, что вопрос о существовании плоских полиномов в классе  $\mathcal{M}_q$  связан с исследованием семейств полиномов  $P^{(t)}(z) \in \mathcal{G}_{q-1}$  с непрерывным параметром  $t$ .

**1.2. Основной результат.** В этой работе мы установим существование семейств полиномов  $P^{(t)}(z)$ , являющихся плоскими относительно метрики в пространстве  $L^1(S^1)$  для дискретного множества значений параметра  $t \in [t_0, t_1] \cap \mathbb{Z}$ , причём в силу специального арифметического характера конструкции свойство быть плоским нарушается в интервалах  $(t, t+1)$ ,  $t \in \mathbb{Z}$ .

**Теорема 1.** Пусть дано конечное множество  $\tau \subset \mathbb{N}$ , и пусть  $H = \text{НОК}(\tau)$ ,  $q = \ell \cdot H$ , где  $\ell \in \mathbb{N}$  и  $2H \mid q$ . Тогда полиномы из класса  $\mathcal{G}_{q-1}$

$$P^{(t)}(z) = \frac{1}{\sqrt{q}} \sum_{j=0}^{q-1} e^{2\pi i t \tilde{\omega}(j)} z^j,$$

где

$$\begin{aligned} \tilde{\omega}(j) &= \omega(j) + \Lambda(s), & j &= sl + \varkappa, \quad 0 \leq \varkappa < \ell, \\ \omega(j) &= \frac{j^2}{2q}, & \Lambda(s) &= \frac{s^2}{2H^2}, \end{aligned}$$

удовлетворяют оценке

$$\| |P^{(t)}(z)| - 1 \|_{L^1(S^1)} = O\left(\frac{H \cdot \ln q}{\sqrt{q}}\right) + O\left(\frac{\ln t}{\sqrt{t}}\right)$$

для  $t \in \tau$ , а также и для всех  $t \in \mathbb{N}$  со свойством  $t \mid H$ . В частности для любого  $\varepsilon > 0$  существует  $t_0 > 0$ , такое, что полиномы  $P^{(t)}(z)$  являются одновременно  $\varepsilon$ -плоскими относительно метрики  $L^1(S^1)$ , если  $\forall t \in \tau: t \geq t_0$  и  $H^3 \cdot \ln^2 q \ll q$ , причём оценка погрешности имеет вид  $\varepsilon(t_0) = O(t_0^{-1/2} \ln t_0)$ .

**1.3. Мотивация.** Задача о построении семейств плоских полиномов с унимодулярными коэффициентами тесно связана с вопросом о том, существует ли динамическая система ранга 1 (см. раздел 2.1 ниже), обладающая абсолютно непрерывной компонентой в спектре ассоциированного унитарного представления? В этой статье мы установим существование семейств плоских полиномов  $P^{(t)}(z)$ , образующих конечную прогрессию произвольной длины. В то же время, главная цель настоящей работы заключается скорее в том, чтобы увидеть, насколько широко может быть распространён *итерированный метод Ван дер Корпута*, положенный в основу нашей конструкции семейств плоских полиномов. Идея классического метода Ван дер Корпута (см. [31], см. также [30], раздел IV) состоит в том, чтобы аппроксимировать экспоненциальную сумму

$$\mathcal{S}_0 = \sum_{n=0}^q e^{2\pi i f(n)},$$

где  $f(n)$  — медленно изменяющаяся  $C^2$ -гладкая функция, более короткой суммой

$$\mathcal{S}_1 = \sum_{k=k_0}^{k_1} |f''(y_k)|^{-1/2} e^{2\pi i (f(y_k) - ky_k)},$$

ассоциированной с множеством точек стационарности  $y_k$ , где

$$f'(y_k) = k, \quad k \in \mathbb{Z}.$$

Итерированный метод Ван дер Корпута опирается на следующее явление [26]: существуют такие функции  $f$ , для которых последовательность фаз  $\Sigma_k = f(y_k) - ky_k$  снова может быть представлена как ограничение на  $\mathbb{Z}$  некоторой регулярной вещественной функции  $\eta \in C^2[k_0, k_1]$ , а именно,  $\Sigma_k = \eta(k)$ , причём  $\eta'(k_1) - \eta'(k_0) \ll k_1 - k_0$ . К новой сумме  $\mathcal{S}_1$  можно повторно применить метод Ван дер Корпута и аппроксимировать исходную сумму  $\mathcal{S}_0$  ещё более простой суммой  $\mathcal{S}_2$ , количество слагаемых в которой порядка  $m = \eta'(k_1) - \eta'(k_0)$ . Мы называем такие суммы  $\mathcal{S}_0$   *$m$ -парадоксальными*.

Однако данное явление оказывается крайне неустойчивым относительно варьирования функции  $f(n)$ . Так например, основной объект нашего исследования — полиномы  $P^{(t)}(z)$  представляют собой суммы, в которых функция  $f(n)$  зависит от параметров  $t$  и  $\theta$

$$f(n) = t\omega(n) + \theta n, \quad z = e^{2\pi i \theta}.$$

Если, например,  $\omega(n) = n^2/q$ , то нетрудно увидеть, что последовательность  $\Sigma_{k,\theta}(t) = q(k-\theta)^2/2t$ , возникающая в методе Ван дер Корпута оказывается весьма чувствительной по отношению к изменению параметров  $t$ ,  $\theta$  and  $q$ , когда степень полинома  $q \rightarrow \infty$ .

В какой степени данный эффект возникновения  $m$ -парадоксальных сумм может быть устойчив по отношению к варьированию  $t$  и  $\theta$ ? В этой работе мы рассмотрим два ключевых примера: экспоненциальную частотную функцию  $\omega_\circ(n) = q\lambda^{-2} \cdot e^{\lambda n/q}$  и упомянутую квадратичную функцию  $\omega(n) = n^2/q$ . Интересно отметить, что первая функция  $\omega_\circ(n)$  порождает полиномы  $P^{(t)}(\theta)$ ,  $\varepsilon$ -плоские в заданной точке  $\theta_0$ , но для *целого отрезка*  $[t_0, t_1]$  значений  $t$  (см. [26]). Наоборот, квадратичная функция  $\omega(n)$  порождает 0-парадоксальные суммы при некотором  $t$  и *любом*  $\theta$ , и мы покажем, как, используя этот факт, построить плоские семейства  $P^{(t)}(z)$  для конечного множества значений  $t$ . В то же время, вопрос о существовании полинома  $P^{(t)}(\theta)$ , плоского на множестве положительной меры в пространстве параметров  $\{(t, \theta)\}$  открыт. Кроме того, длина прогрессии  $L$  в нашей конструкции намного меньше, чем степень полинома  $q \gg \text{НОК}\{1, \dots, L\}$ . Иными словами, сложность полинома  $P^{(t_0)}(z)$  быстро растёт с ростом длины прогрессии  $\{t_0, \dots, t_1\}$ , и вопрос о существовании семейств полиномов указанного вида, для которых  $L \sim q$  также открыт.

## 2. ДИНАМИЧЕСКАЯ ПРОБЛЕМА ЛИТЛВУДА

Заметим, что нормированное в  $L^2(S^1)$  множество полиномов  $\mathcal{G}_{q-1}$  фиксированной степени представляет из себя группу, изоморфную тору  $\mathbb{T}^q$ , относительно операции покомпонентного умножения коэффициентов

$$(P \odot Q)(z) = \frac{1}{\sqrt{q}} \sum_{j=0}^{q-1} a_j b_j z^j, \quad P(z) = \frac{1}{\sqrt{q}} \sum_{j=0}^{q-1} a_j z^j, \quad Q(z) = \frac{1}{\sqrt{q}} \sum_{j=0}^{q-1} b_j z^j.$$

Напомним, что  $|a_j| = |b_j| = \|P\|_2 = \|Q\|_2 = \|P \odot Q\|_2 = 1$ . Изучение свойств полиномов из  $\mathcal{G}_{q-1}$  относительно данной мультипликативной структуры является нетривиальной задачей, а теорема 1 представляет собой частный случай следующего общего вопроса о семействах унимодулярных полиномов.

**Вопрос 2** (*Динамическая проблема Литлвуда о плоских полиномах*). Пусть задан гомоморфизм  $\gamma$  топологической группы  $\Gamma$  в группу  $\mathcal{G}_{q-1}$  и некоторая область  $U \subseteq \Gamma$ . Мы назовём семейство полиномов  $\gamma(U)$   $\varepsilon$ -плоским по отношению к паре норм  $(\|\cdot\|_{(1)}, \|\cdot\|_{(2)})$ , если

$$\left\| \left\| |P^{(t)}(z)| - 1 \right\|_{(1)} \right\|_{(2)} < \varepsilon,$$

где  $\|\cdot\|_{(2)}$  — некоторая норма в пространстве  $L^\infty(U)$ .

Таким образом, теорема 1 рассматривает случай  $\Gamma = \mathbb{Z}$  и  $U = \{t_0, \dots, t_1\}$ ,  $t_0 \gg 1$ .

**Вопрос 3.** Существуют ли плоские при  $n \rightarrow \infty$  семейства полиномов следующего вида?

- (i)  $\Gamma = \mathbb{R}$  и  $U = [t_0, t_1]$  для  $\|\cdot\|_{(2)} = \|\cdot\|_1$  и  $\|\cdot\|_{(2)} = \|\cdot\|_\infty$ ;
- (ii)  $\Gamma = U = \mathbb{Z}_q$  и  $\|\cdot\|_{(2)} = \|\cdot\|_1$ .

**Вопрос 4.** Существуют ли полиномы вида  $Q(t) = q^{-1/2}(e^{2\pi i t \omega_1} + \dots + e^{2\pi i t \omega_q})$ , являющиеся локально  $\varepsilon$ -плоскими (на каждом отрезке) относительно нормы в  $L^1(\mathbb{R})$  для всех  $t \in \mathbb{R}$  при  $q \rightarrow \infty$ ?

В работе [3] предлагается новый способ конструирования ультраплоских полиномов на окружности, не использующий случайные параметры, и улучшается оценка работы Кахана [11].

**Вопрос 5** (*О семействе ультраплоских полиномов – Усиленная теорема Кахана*).

- (i) Верна ли вариация теоремы 1, если потребовать, чтобы  $||P^{(t)}(z)| - 1| < \varepsilon$  во всех точках  $|z| = 1$ ?
- (ii) Существует ли пара  $\varepsilon$ -ультраплоских полиномов

$$P^{(1)}(z) = \frac{1}{\sqrt{q}} \sum_{j=0}^{q-1} a_j z^j \quad \text{и} \quad P^{(2)}(z) = \frac{1}{\sqrt{q}} \sum_{j=0}^{q-1} a_j^2 z^j, \quad |a_j| = 1,$$

для сколь угодно большого  $q$ ?

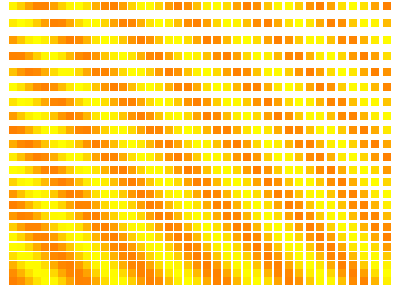


Рис. 1. Множества  $c + F_n$ ,  $c \in C_n$ , определяющие структуру динамической системы ранга 1 окрашены в соответствии со значениями некоторого характера на группе  $G$ , взятого в соответствующих точках множества  $C_n$ .

**2.1. Динамические системы ранга 1 и произведения Рисса.** Сейчас мы увидим, как динамическая проблема Литлвуда возникает при исследовании спектральных мер систем ранга 1. Пусть  $G$  — аменабельная группа, и пусть заданы пары  $(F_n, C_n)$ ,  $n \in \mathbb{N}$ , где  $C_n$  выбираются как дискретные подмножества в  $G$ , а  $F_n$  как открытые области конечного объёма, такие, что  $x + F_n \cap y + F_n$  для любых  $x, y \in C_n$ ,  $x \neq y$ . Как правило, множество  $C_n$  локально и с точностью до сдвига близко к некоторой решётке  $\Gamma_n$ , а множество  $F_n$  с небольшой относительной погрешностью совпадает с фундаментальной областью в группе  $G$  по отношению к  $\Gamma_n$ . Будем также предполагать, что  $F_{n+1} \supseteq C_n + F_n$  для каждого  $n$ , и что

$$\nu(C_n + F_n | F_{n+1}) = 1 + o(1)$$

с достаточно хорошей точностью, необходимой для корректности нижеследующей конструкции (см. [5]). Здесь  $\nu$  — мера Хаара на группе  $G$ . Далее для простоты мы считаем, что группа  $G$  абелева. Фазовое пространство динамической системы ранга 1 мы

определим как обратный предел пространств  $F_n$  относительно проекций  $\phi_n$ , которые определяются следующим образом:

$$\phi_n: F_{n+1} \supset D(\phi_n) \rightarrow F_n, \quad \phi_n(c + f) = f, \quad c \in C_n, \quad f \in F_n.$$

Отображение  $\phi_n$  определено не везде, но условная мера Хаара области определения  $D(\phi_n) = C_n + F_n$  по построению близка к 1. Определим фазовое пространство нашей динамической системы как

$$X = \{(x_m, x_{m+1}, \dots, x_n, \dots) : x_n \in F_n, \phi_n(x_{n+1}) = x_n\}.$$

При определённых ограничениях на параметры конструкции на пространстве  $X$  существует конечная борелевская мера  $\mu$ , совпадающая при ограничении на  $\{x : x_n \in F_n\}$  с мерой Хаара на  $G$  с точностью до постоянного коэффициента. Эта мера инвариантна относительно действия  $T^g$ , которое определяется следующим образом. Для фиксированного  $g \in G$  и для почти каждой точки  $x \in X$  существует индекс  $n_0 = n_0(x, g)$ , такой, что для всех  $n \geq n_0(x, g)$  выполнено:  $g + x_n \in F_n$ . Положим

$$T^g x = (g + x_{n_0}, g + x_{n_0+1}, \dots, g + x_n, \dots).$$

Поскольку каждая последовательность  $x = (x_n)$  определена с точностью до начального отрезка последовательности, данное определение корректно.

**Лемма 6.** Пусть  $f(x)$  — некоторая функция на фазовом пространстве  $X$ , такая, что  $f(x) = f_{n_0}(x_{n_0})$ , где  $f_n \in L^\infty(F_n)$ . Тогда для каждого  $n \geq n_0$  поднятие функции  $f(x)$  на уровень  $n$  имеет вид  $f(x) = f_n(x_n)$ , причём

$$f_{n+1}(x_{n+1}) = f_n(\phi_n(x_{n+1})), \quad \text{если } x_{n+1} \in D(\phi_n),$$

и  $f_{n+1}(x_{n+1}) = 0$  иначе.

Заметим, что цилиндрические функции, рассмотренные в лемме, плотны в  $L^2(X, \mu)$ . Операцию поднятия можно представить как изометрический оператор

$$V_n: L^2(F_n) \rightarrow L^2(F_{n+1}).$$

Легко проверить, что (см. рис. 1)

$$f_{n+1} = V_n f_n = \gamma_n \mathbf{1}_{C_n} * f_n,$$

где  $\gamma_n \mathbf{1}_{C_n}$  — дискретная мера — должным образом нормированное равномерное распределение на конечном множестве  $C_n$ . Таким образом, для преобразований Фурье  $\widehat{f}_n$  имеет место соотношение

$$\widehat{f}_n = \prod_{k=n_0}^{n-1} \widehat{\mathbf{1}}_{C_k} \cdot \widehat{f}_{n_0}$$

и верна следующая теорема (для  $\mathbb{Z}$  и  $\mathbb{R}$  см., например, [26]).

**Теорема 7.** Пусть  $G = \mathbb{Z}^n$  или  $G = \mathbb{R}^n$  и  $f(x) = f_{n_0}(x_{n_0}) \in L^\infty(X, \mu)$ . Тогда спектральная мера  $\sigma_f$  может быть вычислена как предел относительно слабой топологии в  $C_0^*(G)$  конечных произведений в обобщённом произведении Рисса

$$d\sigma_f = |\widehat{f}_{n_0}(t)|^2 \cdot \prod_{n=n_0}^{\infty} |P_n(t)|^2 dt,$$

где  $P_n = \widehat{\mathbf{1}}_{C_n}$  суть полиномы Литлвуда на дуальной группе  $\widehat{G}$  из класса  $M^G$ ,

$$P_n(t) = \frac{1}{\sqrt{\#C_n}} \sum_{y \in C_n} \chi_y(t), \quad t \in \widehat{G},$$

$u dt$  — вероятностная мера Хаара на дуальной группе.

Предположим, мы интересуемся построением динамической системы ранга 1, обладающей абсолютно непрерывной компонентой в спектре. Легко увидеть, что данное свойство зависит исключительно от структуры бесконечного произведения Рисса  $\prod_n |P_n(t)|^2$ . Разумно предположить, что введённое Литлвудом свойство *быть плоским*, является достаточным для того, чтобы спектральная мера  $\sigma_f$  была абсолютно непрерывной по отношению к мере Хаара на  $\widehat{G}$ , а мера максимального спектрального типа системы совпала с мерой Хаара. В этом случае мы говорим, что система имеет *Лебеговский спектр*. Однако данное утверждение в максимальной общности (для произвольных  $\varepsilon_n$ -плоских полиномов) а priori не очевидно (см., например, [26]), а в некоторых случаях не верно, так как сложно устроенное отклонение  $|P_n(t)|$  от единицы может дать вклад в произведение в виде нетривиальной сингулярной компоненты. Тем не менее, при разумных ограничениях на полиномы  $P_n(t)$  произведение будет абсолютно непрерывным, а спектр Лебеговским. В то же время, если полиномы  $P_n(t)$  не являются плоскими, то, напротив, доказательство сингулярности произведения не сложно и опирается на общие, не зависящие от структуры полиномов  $P_n(t)$  аналитические аргументы (см. [1]), но при этом такие произведения Рисса порождают огромное многообразие сингулярных мер, которые являются не только различными, но и не эквивалентными, тем самым порождая неизоморфные динамические системы ранга 1.

Повторим, тем не менее, что задача построения плоских полиномов в классе  $\mathcal{M}^G$  далека от решения. Положительный ответ дан в случае группы  $\mathbb{R}$ . Для групп  $\mathbb{Z}^d$ ,  $d \geq 1$ , и  $\mathbb{R}^d$ ,  $d \geq 2$  вопрос открыт. В то же время, существование абсолютно непрерывных произведений Рисса на группе  $\widehat{G} = \mathbb{R}^d$  также установлено, но опирается на специальную структуру произведения в целом, в то время как полиномы  $P_n(t)$  не являются плоскими в требуемом смысле [27].

**Вопрос 8.** Для каких абелевых групп  $G$ :

- (i) существуют полиномы Литлвуда в классе  $\mathcal{M}^G$ ,  $L^1$ -плоские на  $\widehat{G}$ ?
- (ii) существуют полиномы Литлвуда в классе  $\mathcal{M}^G$ , являющиеся  $L^1$ -плоскими на любом наперёд заданном компактном подмножестве в  $\widehat{G} \setminus \{0\}$ ?
- (iii) существуют абсолютно непрерывные бесконечные риссовские произведения полиномов из  $\mathcal{M}^G$ ?

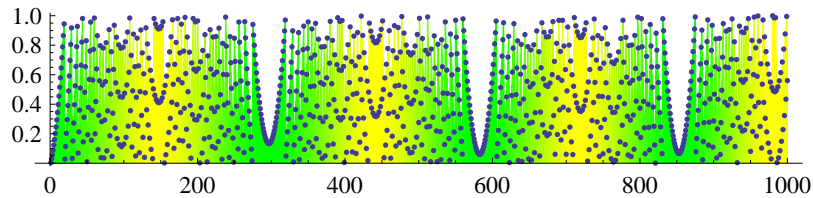


Рис. 2. Точки стационарности  $y_k$  в методе Ван дер Корпута. На рисунке изображён график функции частотной функции  $f(n) \pmod{1}$ ,  $n \in \mathbb{Z}$ . Области зелёного цвета обозначают окрестности стационарных точек.

### 3. МЕТОД ВАН ДЕР КОРПУТА

**3.1. Экспоненциальные суммы.** Известно, что полином  $P_0(e^{2\pi i\theta}) \in \mathcal{G}_{q-1}$  с квадратичной частотной функцией  $\omega(j) = \frac{1}{2}j^2/q$  при большом  $q$  является ультраплоским в

области  $\theta \in \mathbb{T} \setminus (-\varepsilon, \varepsilon)$ . Более того, полином  $P_0(e^{2\pi i\theta})$  является плоским относительно нормы в  $L^1(\mathbb{T})$ . Это наблюдение является примером использования классического метода Ван дер Корпута (см. [31], см. также [30], глава IV), суть которого заключается в следующем. Рассмотрим вещественную функцию  $f(y) \in C^2(a, b)$  с монотонной производной на интервале  $(a, b)$  и предположим, что функция  $f(y)$  достаточно медленно изменяется в пределах промежутка  $(a, b)$ , а именно, пусть  $f''(y) \ll 1$ . Ван дер Корпут заметил, что сумму  $\sum_{j \in (a, b)} e^{2\pi i f(j)}$  можно вычислить следующим образом:

$$(1) \quad S_{a,b,f} = \sum_{a < j < b} e^{2\pi i f(j)} = \sum_{\alpha < k < \beta} \frac{1}{\sqrt{|f''(y_k)|}} e^{2\pi i (f(y_k) - ky_k \pm 1/8)} + \mathcal{E},$$

где  $\alpha = f'(a)$ ,  $\beta = f'(b)$ , точки  $y_k$  являются решениями уравнения  $f'(y_k) = k$ ,  $k \in \mathbb{Z}$ , и  $\mathcal{E}$  — погрешность, оценивание которой представляет собой отдельную задачу. Иными словами, основной вклад в осцилляторную сумму  $S_{a,b,f}$  даёт небольшая окрестность точек стационарности фазы  $y_k$ . Данный метод опирается на следующую лемму о приближении осцилляторных сумм интегралами ([31] и [30], лемма 1, раздел IV.2).

**Определение 9.** Будем называть *редуцированной суммой* и обозначать  $S'_{\alpha,\beta,f}$  первую сумму в правой равенства (1),

$$(2) \quad S'_{\alpha,\beta,f} = \sum_{\alpha < k < \beta} \frac{1}{\sqrt{|f''(y_k)|}} e^{2\pi i (f(y_k) - ky_k + \sigma \cdot 1/8)},$$

где  $\sigma = \operatorname{sgn} f''(y)$ .

**Лемма 10.** Пусть  $f(y)$  — действительная дифференцируемая функция с монотонно убывающей производной на интервале  $(a, b)$  и  $\alpha = f'(a)$ ,  $\beta = f'(b)$ . Тогда

$$\sum_{a < j \leq b} e^{2\pi i f(j)} = \sum_{\alpha - \eta < k < \beta + \eta} \int_a^b e^{2\pi i (f(y) - ky)} dy + O(\ln(\beta - \alpha + 2)),$$

где  $\eta \in (0, 1)$  суть произвольная постоянная.

Дальнейшее исследование свойств погрешности  $\mathcal{E}$  в методе Ван дер Корпута требует знания ряда дополнительных свойств функции  $f(y)$ . В работе [7] (см. также [16] и [refMaryWeissOnHLSeries](#)) Харди и Литлвуд говорят о том, что ими обнаружена сумма

$$(3) \quad S_{\text{HL}}(N, \tilde{\alpha}, \theta) = \sum_{n=1}^N e^{i\tilde{\alpha}n \ln n + in\theta}, \quad \tilde{\alpha} \in \mathbb{R}, \quad \tilde{\alpha} \neq 0, \quad \theta \in [0, 2\pi],$$

которая позволяет проиллюстрировать более простым и элегантным образом проиллюстрировать ряд нетривиальных эффектов в теории тригонометрических рядов, нежели экспоненциальные суммы с квадратичной функцией  $\omega(n)$ , и поведение суммы  $S_{\text{HL}}(N, \tilde{\alpha}, \theta)$  в основном не зависит от арифметической природы  $\tilde{\alpha}$ . В частности, сумма удовлетворяют универсальной оценке

$$S_{\text{HL}}(N, \tilde{\alpha}, \theta) \leq \mathcal{A}(\tilde{\alpha}) \sqrt{N},$$

где  $\mathcal{A}(\tilde{\alpha})$  — положительная константа, зависящая только от  $\tilde{\alpha}$ . Как мы увидим в разделе 3.5, суммы Харди–Литлвуда возникают в результате применения метода Ван дер Корпута к суммам на основе экспоненциальной частотной функции  $\omega_{\circ}(y) = q\lambda^{-2} \cdot e^{\lambda y/q}$  и в этой конструкции решающую роль играют именно арифметические свойства  $\tilde{\alpha}$  (см. примеры 21 и 25).

Предположим теперь, что  $\kappa\lambda_2 \leq |f''(x)| \leq \lambda_2$ . В серии работ нескольких авторов ([31], [25] и др.) устанавливается аналогичная оценка для метода Ван дер Корпута:

$$\mathcal{E} = O(\lambda_2^{-1/2}) + O(\mathcal{E}_3),$$

где  $\mathcal{E}_3$  оценивается при условии ограниченности старших производных:  $f^{(3)}(x)$  и т.д. Весьма сильная оценка такого типа получена в работах: Колесник [14], Хит-Браун [10]. А именно, предположим, что функция  $f(z/a)$  аналитически продолжается в выпуклую область  $U \supset [1, b/a]$ , и пусть оценка на  $|f''(z)|$  сохраняется в области  $U$ , причём для  $x \in U \cap \mathbb{R}$  выполнено  $f''(x) \leq \kappa\lambda_2$ . Тогда верно равенство ([10], лемма 6)

$$\mathcal{E} = O(\lambda_2^{-1/2}) + O(\ln(2 + (b-a)\lambda_2)).$$

В то же время, для большого класса дискретных экспоненциальных сумм с медленно изменяющейся частотной функцией  $f(y)$  типичные значения  $\mathcal{E}$  намного меньше, а именно, порядка  $O(\ln(b-a))$ , где  $b-a$  — число слагаемых в сумме. Мин получил оценку следующего вида ([20], теорема 2.2, — см. [18]), в которой универсальное слагаемое  $O(\lambda_2^{-1/2})$  в оценке заменяется на оценку, зависящую от значений  $\alpha$  и  $\beta$ .

**Лемма 11.** Пусть  $f(y)$  — алгебраическая функция и известно, что  $\kappa\lambda_2 \leq |f''(y)| \leq \lambda_2$ ,  $|f^{(3)}(y)| \leq \lambda_2 U^{-1}$ ,  $U \geq 1$ , и пусть  $f'(a), f'(b) \notin \mathbb{Z}$ . Тогда

$$(4) \quad \mathcal{E} = O(\ln(2 + (b-a)\lambda_2)) + O((b-a + \lambda_2^{-1})U^{-1}) + O\left(\min\{\lambda_2^{-1/2}, \max\{\frac{1}{\|\alpha\|_{\mathbb{Z}}}, \frac{1}{\|\beta\|_{\mathbb{Z}}}\}\}\right),$$

где  $\alpha = f'(a)$ ,  $\beta = f'(b)$  и  $\|t\|_{\mathbb{Z}}$  — расстояние от точки  $t$  до множества  $\mathbb{Z}$ .

В работе [8] Гото приводит аналогичные оценки (леммы 2.3 и 2.4), снабжённые исчерпывающим исследованием возникающих в данных оценках констант. Далее, в [18] Лиу рассматривает более общий случай  $f \in C^5[a, b]$  и получает оценки такой же структуры, но в предположении, что

$$3f''(y)f^{(4)}(y) - 5(f^{(3)}(y))^2 \neq 0,$$

исключая классический случай  $f(y) = y^2$ .

В настоящей работе мы воспользуемся простым частным случаем оценки (4).

**Лемма 12.** Пусть  $t > 0$  и

$$f(y) = \frac{y^2}{2Q} + \theta y + c, \quad y \in (a, b), \quad b-a \leq Q,$$

Тогда

$$(5) \quad \sum_{a \leq j < b} e^{2\pi i f(j)} = \mathbf{1}_{\{(a,b)+Q\mathbb{Z}\}}(y_k) \cdot \sqrt{Q} e^{2\pi i (f(y_k) - ky_k + 1/8)} + O\left(\ln\left(2 + \frac{b-a}{Q}\right)\right) + O\left(\min\{\sqrt{Q}, \max\{\frac{1}{\|\alpha\|_{\mathbb{Z}}}, \frac{1}{\|\beta\|_{\mathbb{Z}}}\}\}\right),$$

где  $\alpha = Q^{-1}a + \theta$ ,  $\beta = Q^{-1}b + \theta$  и точка  $y_k$  — единственное (если существует) решение уравнения  $f'(y_k) = k \in \mathbb{Z}$ .

*Доказательство.* Применим лемму 11. В условиях нашей леммы  $f''(y) \equiv \lambda_2 = Q^{-1}$ ,  $f^{(3)}(y) \equiv 0$ , а значит, мы можем взять в качестве  $U$  любую сколь угодно большую константу (заметим, что это а priori невозможно для упомянутой теоремы Лиу). Таким образом, оценка леммы 11 приобретает форму второго и третьего слагаемых в (5). В то же время, первое слагаемое в формуле (5) есть не что иное, как сумма в правой части уравнения (1), содержащая в нашем случае одно, либо ни одного слагаемого. Индикаторная функция  $\mathbf{1}_{\{(a,b)+Q\mathbb{Z}\}}(y_k)$  имеет простой и наглядный смысл: если (единственная) точка стационарности  $y_k$  оказывается внутри промежутка суммирования  $(a, b)$ , то мы включаем одно слагаемое  $(f''(y_k))^{-1/2} e^{2\pi i(f(y_k) - ky_k + 1/8)}$ , иначе правая часть формулы (5) содержит только оценку погрешности  $\mathcal{E}$ .  $\square$

Следствием данной оценки является следующая лемма. Положим  $e(\theta) = \exp(2\pi i \theta)$ .

**Лемма 13.** *Полином*

$$\mathcal{P}_0(\theta) = \frac{1}{\sqrt{q}} \sum_{j=0}^{q-1} e(\omega(j) + \theta j), \quad \omega(y) = \frac{y^2}{2q}, \quad \theta \in \mathbb{T} \simeq [0, 1],$$

обладает свойством

$$(6) \quad \left| |\mathcal{P}_0(\theta)| - 1 \right| < \nu(1, q, \theta) = O\left(\frac{1}{\sqrt{q}}\right) + O\left(\min\left\{1, \frac{1}{\sqrt{q}\theta(1-\theta)}\right\}\right),$$

где символом  $\nu(1, q, \theta)$  обозначена оценка погрешности  $\mathcal{E}$  из леммы 12 при  $Q = b - a = q$  и  $\alpha \equiv \beta \equiv \theta \pmod{1}$ . В частности,

$$\left\| |\mathcal{P}_0(\theta)| - 1 \right\|_1 = O\left(\frac{\ln q}{\sqrt{q}}\right).$$

*Доказательство.* Вычислим стационарные точки  $y_k$ . Имеем  $\omega'(y_k) - \theta = y_k/q + \theta = k$ . Значит,  $y_k = q(k - \theta)$  и при каждом  $\theta \in \mathbb{T}$ , кроме одного исключительного значения  $\theta = 0$ , существует ровно одна стационарная точка  $y_k \in (0, q)$ , причём  $k = 0$ , поэтому

$$\mathcal{P}_0(\theta) = e(\omega(y_0) + \theta y_0 + 1/8) + \mathcal{E} = e\left(-\frac{q\theta^2}{2}\right) + \mathcal{E}.$$

Таким образом,  $\left| |\mathcal{P}_0(\theta)| - 1 \right| \leq |\mathcal{E}|$  и легко видеть, что оценка погрешности  $\nu(1, q, \theta)$  имеет именно такой вид, как указано в (6).  $\square$

Следующая лемма является обобщением леммы 13 и доказывается аналогично.

**Лемма 14.** *Рассмотрим зависящий от параметра  $t \ll q$  полином*

$$\mathcal{P}_0^{(t)}(\theta) = \frac{1}{\sqrt{q}} \sum_{j=0}^{q-1} e(t\omega(j) + j\theta), \quad \omega(y) = \frac{y^2}{2q},$$

и пусть точки  $y_k = y_k(t, \theta)$  определяются как решения уравнения  $t \cdot \omega'(y_k) + \theta = k$ , где  $k \in \mathbb{Z}$ . Тогда  $\mathcal{P}_0^{(t)}(\theta)$  аппроксимируется суммой, ассоциированной с множеством точек стационарности  $y_k(t)$ ,

$$\left| \mathcal{P}_0^{(t)}(\theta) - \frac{1}{\sqrt{t}} \sum_{\alpha < k < \beta} e(t\omega(y_k) - ky_k) \right| < \nu(t, q, \theta) = O\left(\frac{\ln t}{\sqrt{q}}\right) + O\left(\min\left\{\frac{1}{\sqrt{t}}, \frac{1}{\sqrt{q} \cdot \|\theta\|_{\mathbb{Z}}}\right\}\right).$$

В частности,

$$\left\| |\mathcal{P}_0^{(t)}(\theta)| - 1 \right\|_1 = O\left(\frac{\ln q}{\sqrt{q}}\right).$$

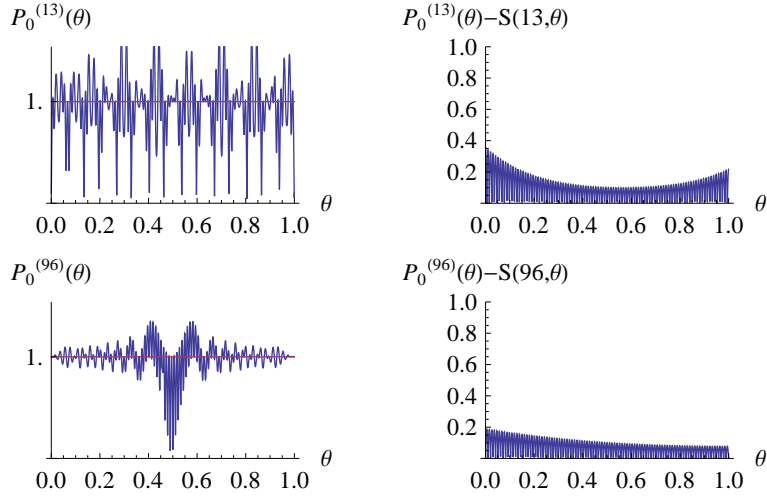


Рис. 3. Иллюстрация к лемме 14: На рисунке изображены графики полиномов  $\mathcal{P}_0^{(13)}(\theta)$  и  $\mathcal{P}_0^{(96)}(\theta)$  (слева),  $q = 97$ , а также функций, представляющих погрешность аппроксимации в методе Ван дер Корпута (справа). Формулировка леммы 14 на первый взгляд содержит парадоксальную особенность – отсутствие зависимости от  $t$  при больших  $t$ . И действительно, как видно из рисунка, лемма подтверждается даже при  $t = q - 1 = 96$ . Можно заметить также, что полином  $\mathcal{P}_0^{(96)}(\theta)$  является  $\varepsilon$ -ультраплоским на  $\mathbb{T}$  за исключением малой окрестности точки  $1/2$ . Этот эффект следует из свойств квадратичной функции  $\omega(j)$ : формулировка леммы инвариантна относительно преобразования  $t \mapsto t + q$ .

Заметим, что, поскольку  $\theta \in \mathbb{T}$  рассматривается как смежный класс  $\theta + \mathbb{Z}$ , величина  $\theta(1 - \theta) \asymp \|\theta\|_{\mathbb{Z}}$  служит явной формой представления расстояния  $\|\theta\|_{\mathbb{Z}}$ , когда окружность  $\mathbb{T}$  отождествляется с отрезком  $[0, 1]$  со склееными концами. Отметим также, что, применяя данную лемму, мы обычно будем рассматривать случай  $t \geq 1$ . Наконец, обратим внимание на то, что при  $t \rightarrow 0$  лемма даёт асимптотику оценки  $t^{-1/2}$ .

**3.2. Суммы Гаусса.** Пусть  $q$  — простое число. Один из наиболее важных примеров плоских тригонометрических сумм — суммы Гаусса

$$\mathcal{P}_0^{(r)}(s/q) = \frac{1}{\sqrt{q}} \sum_{j=0}^{q-1} e\left(r \frac{j^2}{q} + \frac{s}{q}\right),$$

обладающие свойством  $|\mathcal{P}_0^{(r)}(s/q)| = 1$ , как только  $(r, q) = 1$  и  $s \in \mathbb{Z}_q$ . Важно отметить, что это свойство неустойчиво как по отношению к изменению  $r$ , если рассматривать  $r \in \mathbb{R}$ , так и к выбору произвольной точки  $\theta \in \mathbb{T}$ . Заметим также, что метод Ван дер Корпута нельзя применить “напрямую” к суммам данного вида, поскольку при больших значениях  $r$  возникает сумма по множеству стационарных фаз, значения которой трудно проконтролировать при всех значениях  $\theta$  и, кроме того, накапливается большая ошибка в оценке  $\mathcal{E}$ .

Основная идея нашего исследования — рассмотреть на ряду с экспоненциальными суммами Гаусса

$$\mathcal{P}^{(t)}(\theta) = \frac{1}{\sqrt{q}} \sum_{j=0}^{q-1} e(t\omega(j) + j\theta), \quad \omega(y) = \frac{y^2}{2q}$$

с квадратичной функцией  $\omega(y)$  семейства полиномов, для которых частотная функция  $\tilde{\omega}(y)$  является кусочно-гладкой и отличается от  $y^2/2q$  на кусочно постоянную функцию. Иными словами, мы рассмотрим функции  $\tilde{\omega}(y)$ , для которых  $\|\tilde{\omega} - \omega\|_1 = o(1)$ .

Заметим, что главное препятствие к обнаружению одновременно плоских полиномов  $\mathcal{P}^{(t_1)}(\theta)$  и  $\mathcal{P}^{(t_2)}(\theta)$  состоит в том, что различным моментам времени  $t_1$  и  $t_2$  отвечают различные множества точек стационарности фазы  $y_{k,\theta}(t)$ , где  $k \in \{k_0(t, \theta), \dots, k_1(t, \theta)\}$ ,

$$t\omega'(y_{k,\theta}) + \theta = k,$$

и, соответственно, разные динамически зависящие от  $t$  суммы  $\sum_k e^{2\pi i(t\omega(y_{k,\theta}(t)) - k y_{k,\theta}(t))}$ . Сложная структура поведения этих сумм отчасти объясняется тем, что индуцированная квадратичной функцией  $\omega(y)$  группа преобразований, траектории которой задают движение точек  $y_{k,\theta}(t)$ , действует гиперболически (ср. [26]). Это индуцированное производится следующим образом (теперь на некоторое время мы предположим, что  $\omega(y)$  — произвольная выпуклая функция класса  $C^2(\mathbb{R})$ ).

### 3.3. Общая схема метода Ван дер Корпута для сумм с параметром.

**Лемма 15.** Пусть  $\omega(y) \in C^2(\mathbb{R})$  — неотрицательная функция, такая, что  $\omega''(y) > 0$ . Рассмотрим уравнение

$$t\omega'(y) = x = k - \theta, \quad y, x \in \mathbb{R}, \quad t \in \mathbb{R}_+.$$

Положим  $\phi(y) = \omega'(y)$  и определим семейство отображений  $R^t$  следующим образом:

$$(7) \quad R^t(y) = \phi^{-1}\left(\frac{\phi(y)}{t}\right).$$

Тогда  $\{R^t\}$  — действие мультипликативной группы  $\mathbb{R}_+$ . Каждая точка стационарности  $y_k(t) = y_{k,\theta}(t)$  движется по траектории динамической системы  $\{R^t\}$ , а именно,

$$y_k(t) = R^t y_k(1).$$

Кроме того, действие  $R^t$  задаётся автономным (стационарным) дифференциальным уравнением относительно  $\tau = \ln t$

$$\frac{\partial}{\partial \tau} y = -\frac{\phi(y)}{\phi'(y)},$$

где  $t\dot{y} = \frac{\partial}{\partial \tau} y$ .

*Доказательство.* Положение стационарной точки  $y_k = y_k(t)$  определяется уравнением  $t\omega'(y_k) = x = \text{const}$ , откуда выводим

$$y_k(t) = \phi^{-1}(x/t) = R^t(y_k(1))$$

и, учитывая, что  $x = \phi(y_k(1))$ , имеем

$$R^t(y_k(1)) = y_k(t) = \phi^{-1}(\phi(y_k(1))/t).$$

Данное соотношение зависит только от частного значения  $y^* = y_k(1)$ , следовательно, действие  $R^t$  определяется уравнением (7). Легко проверить, что  $R^{st} = R^s \circ R^t$ .  $\square$

Здесь и далее, фиксируя значение  $\theta$ , мы часто будем опускать индекс  $\theta$  в обозначении точки стационарности  $y_k(t) = y_{k,\theta}(t)$ .

**Наблюдение 16.** Редуцированная сумма (2), возникающая в результате применения метода Ван дер Корпута к сумме  $\sum_{j=0}^{q-1} e(t\omega(j) + \theta j)$  имеет вид

$$(8) \quad \mathcal{S}(t, \theta) = S'_{K_0(t), K_1(t), t\omega(y) + \theta y} = \sum_{K_0(t) < k < K_1(t)} \frac{1}{\sqrt{q \omega''(y_k)}} e^{2\pi i \Sigma_k(t, \theta)},$$

где

$$\Sigma_k(t, \theta) \stackrel{\text{def}}{=} t\omega(y_k) - (k - \theta)y_k, \quad K_0(t) = t\omega'(0) + \theta, \quad K_1(t) = t\omega'(q) + \theta.$$

**Наблюдение 17.** Суммирование по промежутку  $(K_0(t), K_1(t))$  в формуле (8), очевидно, эквивалентно суммированию по подмножеству стационарных точек  $y_k(t)$ , попадающих в интервал  $(0, q)$  в момент времени  $t$ . Иными словами, редуцированную сумму можно представить в виде

$$(9) \quad \mathcal{S}(t, \theta) = \sum_{k: R^t y_{k, \theta}(1) \in (0, q)} \frac{e^{2\pi i \Sigma_k(t, \theta)}}{\sqrt{q \omega''(y_k)}} = \sum_{k \in \mathbb{Z}} \mathbf{1}_{(0, q)}(R^t y_k(1)) \cdot \frac{e^{2\pi i \Sigma_k(t, \theta)}}{\sqrt{q \omega''(y_k)}}.$$

Исследуем теперь зависимость от времени  $t$  значений  $\Sigma_k = \Sigma_k(t, \theta)$ .

**Наблюдение 18.** В силу фундаментального уравнения  $t\omega'(y_k) = x = k - \theta$  производная величины  $\Sigma_k(t, \theta) = t\omega(y_k(t)) - xy_k(t)$  удовлетворяет уравнению

$$\dot{\Sigma}_k = t\omega'(y_k) \dot{y}_k + \omega(y_k) - x \dot{y}_k = \omega(y_k).$$

Значит,  $\Sigma_k(t, \theta)$  как функция от  $y$  является решением дифференциального уравнения, не зависящего явным образом от  $k$ ,

$$(10) \quad \dot{\Sigma}_k = \omega(y_k(t)).$$

Кроме того, легко увидеть, что

$$t \ddot{\Sigma}_k = ky_k \quad \text{и} \quad \Sigma_{\tau\tau} - \Sigma_\tau = e^\tau \omega_\tau,$$

где  $(\cdot)_\tau$  обозначает производную по  $\tau$ .

Таким образом, свойства двух рассмотренных динамических систем: действия  $R^t$  и уравнения (10), представляющего эволюцию  $\Sigma_k(t)$ , полностью определяют структуру редуцированной суммы  $\mathcal{S}(t, \theta)$ . Итак, объединяя наблюдения 16, 17 и 18, приходим к следующей теореме.

**Теорема 19** (динамическая интерпретация метода Ван дер Корпута). *Пусть*

$$\mathcal{P}^{(t)}(\theta) = \frac{1}{\sqrt{q}} \sum_{j \in \mathbb{Z}} h(j) e^{2\pi i (t\omega(j) + \theta j)},$$

где  $h(y) = \mathbf{1}_{(a, b)}$  — индикатор некоторого интервала прямой и  $\omega(y)$  —  $C^2$ -гладкая функция,  $\omega''(y) > 0$ . Тогда суммы, дающие основной вклад в полином  $\mathcal{P}^{(t)}(\theta)$  в методе Ван дер Корпута, могут быть представлены в виде:

$$\mathcal{S}(t, \theta) = \sum_{k \in \mathbb{Z}} \frac{h(y_k)}{\sqrt{q \omega''(y_k)}} e^{2\pi i \Sigma_k(t, \theta)} = \sum_{y \in Y(t)} \frac{h(y)}{\sqrt{q \omega''(y)}} e^{2\pi i \tilde{\Sigma}(t, y)},$$

где

$$\frac{d}{dt} \tilde{\Sigma}(t, y(t)) = \omega(y(t)), \quad Y(t) = R^t Y_0 \quad \text{и} \quad Y_0 = \{y: \omega'(y) \in -\theta + \mathbb{Z}\}.$$

**Замечание 20.** Аналогичный результат верен и для сумм вида  $\sum_j h(j) e(t\omega(j) + \theta j)$ , где роль  $h(y)$  в теореме 19 играет произвольная финитная гладкая функция на прямой  $\mathbb{R}$ .

**Пример 21.** Рассмотрим экспоненциальную частотную функцию

$$\omega_{\circ}(y) = \frac{q}{\lambda^2} e^{\lambda y/q}, \quad \lambda^{-1} \in \mathbb{N}, \quad y \in [0, q].$$

и зафиксируем некоторую точку  $\theta = \theta_0$ , скажем,  $\theta_0 = 0$ . Точки стационарности, определяемые данной функцией, имеют вид

$$y_k(t) = \frac{q}{\lambda} \ln \frac{\lambda k}{t},$$

а действие  $R^t$  есть в точности действие сдвигами на прямой  $\mathbb{R}$ ,

$$R^t: y \mapsto y - \frac{q}{\lambda} \ln t.$$

Для пары динамических систем (7) и (10), порождённых функцией  $\omega_{\circ}(y)$ , выполнены следующие замечательные соотношения:

$$\frac{d}{dt} \Sigma(y_k) = \frac{q}{\lambda} \cdot \frac{k}{t}, \quad \frac{d}{dt} (t\omega_{\circ}(y)) = 0, \quad \dot{y}_{k+s} - \dot{y}_k = 0.$$

Вычислим явно значения функции  $\Sigma_k(t, \theta)$  по модулю 1 (см. [26]),

$$\Sigma_k(t, \theta) = -ky_k = q \cdot \frac{1}{\lambda} k \ln k + \xi(t) k = q \Omega(k) + \xi(t) k,$$

где

$$\Omega(k) = \frac{1}{\lambda} k \ln k.$$

**3.4. Бифуркации точек стационарности.** Рассмотрим снова нашу экспоненциальную сумму

$$\mathcal{P}^{(t)}(\theta) = \frac{1}{\sqrt{q}} \sum_{j=0}^{q-1} e^{2\pi i (t\omega(j) + \theta j)}$$

и отметим, что деление на  $\sqrt{q}$  в точности соответствует нормированию суммы в  $L^2(\mathbb{T})$ . С точки зрения квантовой механики рассматривается движение свободной частицы, заданное уравнением Шрёдингера с гамильтонианом  $\omega(y)$  (нет зависимости от пространственной переменной  $\theta$ ) и волновая функция  $\psi(t, \theta) = \mathcal{P}^{(t)}(\theta)$  нормирована стандартным образом, а именно,  $|\psi(t, \theta)|^2$  интерпретируется как вероятность обнаружения частицы в точке  $\theta$ . Кроме того, мы рассматриваем случай, когда допустимые значения импульса дискретны, а разрешённые значения энергии суть  $\{\omega(j) : j \in \mathbb{Z}\}$ . Заметим теперь, что глобальная (для всех  $\theta$ ) оценка экспоненциальной суммы в методе Ван дер Корпута при данной нормировке приобретает вид  $|\psi(t, \theta)|^2 = O(\text{const})$ , в то время как математическое ожидание  $\mathbb{E}|\psi(t, \theta)|^2 = 1$ . При этом, если стационарные точки далеки от границы области суммирования  $\partial(0, q)$  (см. леммы 11 и 12), функция  $\psi(t, \theta)$  приближается с точностью  $O(q^{-1/2})$  редуцированной суммой  $\mathcal{S}(t, \theta)$ . В результате мы видим, что в окрестности точек  $(t^*, \theta^*)$ , для которых одно из значений  $y_k \in \partial(0, q)$ , оценка  $|\psi(t, \theta)|^2 = O(\text{const})$  может быть интерпретирована как высокая степень неопределённости амплитуды  $|\psi(t, \theta)|$  относительно нашей модели.

Данное явление можно связать с перестройкой (*бифуркацией*) конфигурации стационарных точек по отношению к области  $(0, q)$ . Этот эффект удобно проиллюстрировать на примере экспоненциальной функции  $\omega_{\circ}(y)$ , рассмотренной выше. Уникальной чертой гамильтониана  $\omega_{\circ}(y)$  (однозначно определяющей его вид) является соотношение  $y_{k+1}(t) - y_k(t) = \text{const}$ . Относительно изменения времени  $t$  бифуркации на правой границе области (точка  $q$ ) происходят несколько чаще, чем на левой (точка 0), таким образом, число точек  $y_k$  внутри области  $(0, q)$  постепенно растёт как  $O(t)$ .

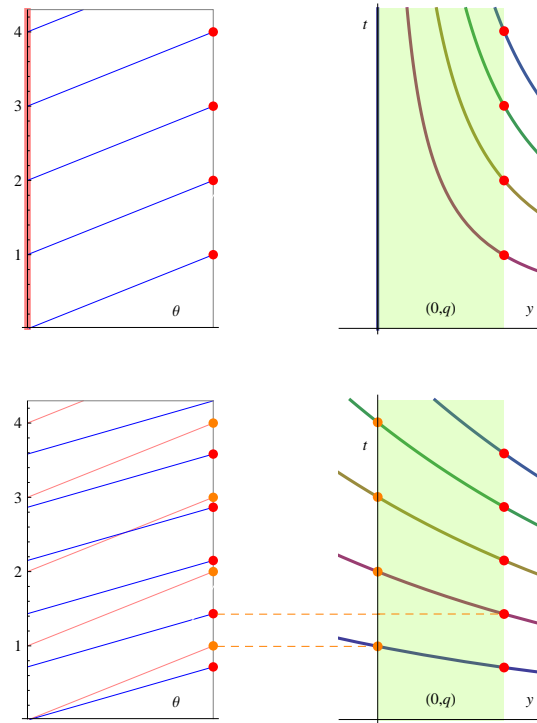


Рис. 4. Бифуркационная диаграмма (слева) и траектории точек стационарности (справа) для квадратичной и экспоненциальной функций  $\omega(y)$  и  $\omega_\circ(y)$  (верхний и нижний ряд соответственно). Линии разного цвета на бифуркационной диаграмме в пространстве  $\mathbb{R} \times \mathbb{T}$  отвечают двум точкам границы области суммирования  $\partial(0, q)$ . Точки красного и оранжевого цвета отмечают моменты бифуркаций  $t_j$  при  $\theta = 0$ . На рисунке также видно, что две линии на бифуркационной диаграмме являются гладкими кривыми. Это любопытное геометрическое явление имеет место и для многомерных тригонометрических сумм.

На рисунке 4 изображена бифуркационная диаграмма этой системы, а также системы, порождённой квадратичной функцией  $\omega(y) = y^2/2q$ .

**3.5.  $t$ -Парадоксальные суммы.** Как было отмечено выше, в разделе 3.2, возникновение плоского полинома в семействе  $\mathcal{P}^{(t)}(\theta)$  может быть явлением, крайне неустойчивым по отношению к изменению  $t$ . Сейчас мы рассмотрим пример [26] построения плоских сумм  $\mathcal{P}^{(t)}(0)$  для целого интервала  $(t_0, t_1)$ , с точностью до множества меры  $\varepsilon$ , в котором также наблюдается неустойчивость явления по отношению к варьированию  $\theta$ .

Рассмотрим отношение эквивалентности  $\circlearrowleft$  означающее равенство с точностью до линейного слагаемого, и пусть  $[\Sigma_k]_{\circlearrowleft}$  — соответствующий класс эквивалентности.

**Наблюдение 22.** Последовательности  $\Sigma_k(t, \theta)$ , порождаемые  $\omega_\circ(y)$ , с точностью до линейного слагаемого представляются траекторией

$$[\Sigma_k]_{\circlearrowleft} = q \Omega(k)$$

потока на бесконечномерном торе  $\mathbb{T}^\infty$ , заданного постоянным векторным полем  $\Omega(k)$ . Последовательность  $\Omega(k)$  есть не что иное, как частотная функция тригонометрических сумм Харди–Литлвуда (3).

**Определение 23.** Пусть  $f \in C^2(a, b)$  и  $0 < |f''(y)| = o(1)$ . Назовём сумму

$$S_{a,b,f} = \sum_{j \in (a,b)} e^{2\pi i f(j)}$$

$(\varepsilon, m)$ -парадоксальной, если для некоторой функции  $\eta \in C^2(\alpha, \beta)$ ,  $\alpha = f'(a)$ ,  $\beta = f'(b)$ , последовательность фаз редуцированной суммы  $\Sigma_k = f(y_k) - ky_k$  аппроксимируется функцией  $\eta(k)$ ,  $\|\Sigma_k - \eta(k)\|_{\mathbb{Z}} \leq \varepsilon$ , причём  $\eta'(\beta) - \eta'(\alpha) \approx_{\varepsilon} m$ , где  $\|x\|_{\mathbb{Z}}$  — стандартная метрика на  $\mathbb{T}$ .

Идея рассмотрения  $m$ -парадоксальных сумм объясняется следующей теоремой.

**Теорема 24** (итерированный метод Ван дер Корпута). Пусть редуцированная сумма  $S'_{\alpha,\beta,f}$ , полученная в результате применения метода Ван дер Корпута, является  $(\varepsilon, m)$ -парадоксальной для некоторого  $\varepsilon > 0$  и  $\Sigma_k = f(y_k) - ky_k \approx_{\varepsilon} \eta(k)$ , и пусть  $m > 0$ , тогда повторное применение данного метода приводит к цепочке равенств

$$S_{a,b,f} = S'_{\alpha,\beta,f} + \mathcal{E} = S''_{A,B,f} + \mathcal{E} + \mathcal{E}',$$

где

$$S''_{A,B,f} = \sum_{l: \kappa_l \in (\alpha,\beta)} e(\eta(\kappa_l) - l\kappa_l),$$

$\kappa_l$  суть решения уравнения  $\eta'(\kappa_l) = l \in \mathbb{Z}$ ,  $A = \eta'(\alpha)$ ,  $B = \eta'(\beta)$ , и  $\mathcal{E}'$  — погрешность, возникающая при повторном применении метода, оценка которой зависит от свойств исходной функции  $f(y)$ . Кроме того,  $B - A = m$ .

В работе [26] данная теорема применяется к экспоненциальной частотной функции, рассмотренной в примере 21, и позволяет доказать существование полиномов Литлвуда на  $\mathbb{R}$ , являющихся плоскими на любом, предварительно заданном компактном множестве в  $\mathbb{R}$  относительно метрики пространства  $L^1(\mathbb{R})$ .

Термин “парадоксальная сумма” объясняется тем, что, как правило, величины  $\Sigma_k$  растут, как число слагаемых в сумме  $O(b - a)$  (или степень полинома), которое может быть очень большим. Поэтому тот факт, что последовательность  $\Sigma_k$  приближается (mod 1) гладкой функцией умеренного роста, оказывается редким явлением. Задача существенно усложняется при переходе к зависящим от параметров семействам сумм, таким, как полиномы  $\mathcal{P}^{(t)}(\theta)$ . Следующие два примера демонстрируют механизм появления парадоксальных сумм. Мы также увидим, что данное явление оказывается неустойчивым по отношению к варьированию одного или двух параметров  $t$  и  $\theta$ .

**Пример 25.** Слагаемые в редуцированных суммах  $\mathcal{S}(t, 0)$ , порождённых экспоненциальной частотной функцией  $\omega_{\circ}(y)$ , как мы увидели в примере 21, с точностью до характера совпадают с траекторией  $q\Omega(k)$  динамической системы на  $\mathbb{T}^{\infty}$ , заданной постоянным векторным полем  $\Omega(k)$ , где степень полинома  $q$  играет роль времени. Фактически нас будут интересовать предельные точки этой траектории относительно слабой топологии на  $\mathbb{T}^{\infty}$ . А именно, если зафиксировать промежуток  $[t_0, t_1] \subset \mathbb{R} \setminus \{0\}$ , то лишь конечное число точек стационарности  $y_k$ ,  $k \in [\kappa_0, \kappa_1]$ , попадают внутрь области  $(0, q)$  хотя бы для одного  $t \in [t_0, t_1]$ . Следовательно, применяя теорему Пуанкаре о возвращении, мы находим бесконечную последовательность  $q_j$  положительной плотности в  $\mathbb{Z}$ , такую, что

$$\forall k \in [\kappa_0, \kappa_1] \quad q_j \cdot \Omega(k) \approx_{\varepsilon} 0 \pmod{1}.$$

Таким образом, верна следующая теорема [26].

**Теорема 26.** Для любого  $\varepsilon > 0$ , отрезка прямой  $[t_0, t_1]$ ,  $t_0 > 0$ , и  $m \in \mathbb{Z}$  существуют  $(\varepsilon, m)$ -парадоксальные суммы  $\mathcal{P}^{(t)}(0)$ , построенные на основе экспоненциальной функции вида  $\omega_\circ(y) = q\lambda^{-2} \cdot e^{\lambda y/q}$ ,  $\lambda^{-1} \in \mathbb{N}$ , для бесконечного множества степеней  $q$ , имеющего положительную плотность в  $\mathbb{Z}$ .

*Доказательство.* В самом деле, если  $q_j$  — момент возвращения траектории  $q\Omega(k)$  к нулю с точностью до  $\varepsilon/(|m| + 1)$  в координатах  $\kappa_0, \dots, \kappa_1$ , то  $(q_j + m)\Omega(k)$  с точностью до  $\varepsilon$  приближает  $m\Omega(k)$ , а в то же время,

$$\Omega'(K_1(t)) - \Omega'(K_0(t)) = 1,$$

и достаточно положить  $\eta(k) = m\Omega(k) + \text{const}$ .  $\square$

Заметим, теперь, что для произвольного  $\theta$

$$y_{k,\theta}(t) = \frac{q}{\lambda} \ln \frac{\lambda(k - \theta)}{t} \quad \text{и} \quad \Omega_\theta = \frac{1}{\lambda} k \ln(k - \theta),$$

таким образом,  $m$ -парадоксальные суммы существуют для произвольного фиксированного  $\theta_0$ , но уже при малом возмущении  $\theta$  это свойство теряется. Рассмотрим теперь пример другого характера.

**3.6. Арифметические свойства  $\Sigma_k(t)$ .** Мы увидели, что обнаружение  $m$ -парадоксальных сумм для гамильтониана  $\omega_\circ(y)$  зависит от диофантовых свойств последовательности

$$(11) \quad \lambda\Omega = (2 \ln 2, 3 \ln 3, 4 \ln 4, 5 \ln 5, \dots, k \ln k, \dots).$$

Для формализации данной проблемы удобно использовать модель, в которой на бесконечном торе  $\mathbb{T}^\infty$  вводится слабая топология и затем рассматривается топологическая динамическая система на  $\mathbb{T}^\infty$ , заданная постоянным векторным полем  $\Omega(k)$ . Интересно рассмотреть как поток, так и дискретное преобразование сдвига на вектор  $\Omega(k)$ . Напомним, что две последовательности  $x_k$  и  $y_k$  близки в слабой топологии, если  $|x_k - y_k| < \varepsilon$  для большого, но конечно интервала индексов  $[1, \dots, N]$ . Если зафиксировать  $N$  и  $\varepsilon$ , то из эргодической теоремы следует, что среднее время возвращения  $\bar{q}_1$  в окрестность

$$W_{\varepsilon, N} = \{x: |x_k| < \varepsilon, 1 < k \leq N\}$$

будет порядка  $\bar{q}_1 \leq \varepsilon^{-(N-1)}$ . В ситуации общего положения ограничение системы на конечномерный тор  $T^{\times[k_0, k_1]}$  часто оказывается эргодическим, а указанная оценка — точной. Значит, если мы интересуемся построением примера плоской тригонометрической суммы, конструкция которой подразумевает поиск предельной точки с точностью  $\varepsilon = 0.1$  при  $N = 23$ , то  $\bar{q}_1 \sim 10^{23}$ , то есть степень полинома оказывается значением, весьма большим для численного эксперимента. В то же время, момент первого возвращения  $q_1^*$  определяется не эргодической теоремой, а диофантовыми свойствами последовательности  $(\Omega(k_0), \dots, \Omega(k_1))$ .

**Вопрос 27.** Как оценивается время первого возвращения в окрестность

$$W_{\varepsilon, k_0, k_1} = \{x: |x_k| < \varepsilon, k_0 \leq k \leq k_1\}$$

траектории потока, стартующей из точки 0, на  $\mathbb{T}^\infty$ , заданного постоянным векторным полем  $\lambda\Omega(k) = (\dots, k \ln k, \dots)$ ?

Легко видеть, что над полем  $\mathbb{Q}$  базис пространства, порождённого  $k \ln k$ , образуют логарифмы простых чисел  $\ln p$ , значит, сформулированный вопрос связан с аналогичным вопросом для последовательности  $\lambda\Omega'(k)$ , порождённой элементами ряда для дзета-функции Римана:

$$\zeta(x_0 + qi) = \sum_{k=1}^{\infty} k^{-x_0} e^{iq \ln k}$$

**Вопрос 28.** Как оценивается время  $q_1^*$  первого возвращения в окрестность  $W_{\varepsilon, k_1, k_2}$  для траектории потока, порождённого векторным полем

$$\lambda\Omega'(k) = (\ln 2, \ln 3, \dots, \ln k, \dots) \quad ?$$

Важно ответить, что рассматриваемые в настоящей работе тригонометрические суммы (см. теорему 1 и конструкции в разделе 4) не столь чувствительны к диофантовым свойствам частотной функции  $\omega(y)$ , соответственно, построенные полиномы допускают численное моделирование, а теорема 1 — экспериментальную проверку при умеренных значениях степени полинома  $q$ .

**3.7. Предельные точки  $\Sigma_k$  для сумм Гаусса.** Вернёмся к рассмотрению квадратичной функции  $\omega(y) = y^2/2q$ .

**Теорема 29.** Для любого конечного множества значений  $\mathcal{T} = \{t_1, \dots, t_N\} \subset (0, +\infty)$ , соизмеримых над  $\mathbb{Q}$ , существует бесконечное множество степеней  $q$ , для которых суммы  $\mathcal{P}^{(t)}(\theta)$  являются 0-парадоксальными при всех  $\theta \in \mathbb{T}$ .

*Доказательство.* Теорема непосредственно следует из вычисления  $\Sigma_k$ . Итак,

$$y_{k,\theta}(t) = \frac{q}{t}(k - \theta),$$

следовательно,

$$\Sigma_{k,\theta}(t) = t\omega(y_k) + \theta y_k - k y_k = t \frac{y_k^2}{2q} - k y_k = y_k \left( \frac{t}{2q} y_k - (k - \theta) \right) = -\frac{q}{2t}(k - \theta)^2.$$

Выберем  $q$ , такое, что  $q/t \in \mathbb{Z}$  для любого  $t \in \mathcal{T}$ . Тогда

$$(12) \quad \Sigma_{k,\theta}(t) = -\frac{q}{t}\theta \cdot k - \frac{q\theta^2}{2t} \stackrel{\text{def}}{=} \eta(k)$$

становится при  $t \in \mathcal{T}$  линейной функцией, откуда  $\eta'(\beta) - \eta'(\alpha) = 0$ , и теорема доказана.  $\square$

#### 4. ДОКАЗАТЕЛЬСТВО ТЕОРЕМЫ 1

**4.1. Основная конструкция.** Основной эффект, приводящий к построению семейств плоских полиномов  $P^{(t)}(x)$  с дискретным параметром  $t$  состоит в следующем. Фактически мы построим полином не на окружности, а на группе  $\widehat{G}$ , дуальной к группе, являющаяся расширением  $\mathbb{Z}_\ell$ ,

$$G = \mathbb{Z}_\ell \oplus \mathbb{Z}_H,$$

и затем отображим *разрывным образом* группу  $G$  на  $\mathbb{Z}_{\ell H}$ :

$$\Phi: y \mapsto sl + j, \quad \text{где } y \in \mathbb{Z}_{\ell H}, \quad 0 \leq j < \ell, \quad s \in \mathbb{Z}_H.$$

При этом для большинства  $y$  (с вероятностью, близкой к 1) наше отображение  $\Phi$  почти коммутирует с  $\mathbb{Z}$ -действием сдвигами на  $\mathbb{Z}_{\ell H}$  и  $G$  соответственно. Иными словами, следующая диаграмма почти коммутативна:

$$\begin{array}{ccc} G & \xrightarrow{\tilde{S}} & G \\ \Phi \downarrow & \approx & \downarrow \Phi \\ \mathbb{Z}_{\ell H} & \xrightarrow{S} & \mathbb{Z}_{\ell H} \end{array}$$

Далее мы увидим, что для  $t \ll q$  точки стационарности, порождённые квадратичной функцией  $\omega(y) = y^2/2q$ , проецируются на класс смежности подгруппы  $t^{-1}H \cdot \mathbb{Z}_H$  в  $\mathbb{Z}_H$ . Наконец, мы построим квадратичную форму  $\Lambda(s)$  на  $\mathbb{Z}_H$ , обладающую весьма специальным свойством. При ограничении на любой класс смежности подгруппы  $t^{-1}H \cdot \mathbb{Z}_H$  форма  $t\Lambda(s)$  с точностью до некоторого линейного слагаемого совпадает с формой  $u^2/2t$ ,  $u \in \mathbb{Z}_t$ , где  $t \mid H$ .

Итак, пусть дано конечное множество  $\tau \subset \mathbb{N}$ . Рассмотрим некоторое достаточно большое  $\ell \in \mathbb{N}$  (оно будет определено позднее), положим  $H = \text{НОК}(\tau)$  и определим функцию  $\tilde{\omega}(y) = \omega(y) + \Lambda(s)$  как сумму стандартной квадратичной функции  $\omega$  и кусочно постоянной поправки  $\Lambda(s)$ , где

$$\omega(y) = \frac{y^2}{2q}, \quad \Lambda(s) = \frac{s^2}{2H^2}, \quad s = \left\lfloor \frac{y}{\ell} \right\rfloor, \quad q = \ell H.$$

**Замечание 30.** Все рассмотренные в разделах 1–3 конструкции применимы к кусочно гладким функциям  $\tilde{\omega}(y)$ , а также в более общих предположениях. В частности, если функция  $\tilde{\omega}(y)$  отличается от функции  $\omega(y) \in C^2(\mathbb{R})$  на кусочно посточную добавку, то динамическая система  $R^t$ , определяющая эволюцию точек  $y_k$ , сохраняется для  $\tilde{\omega}(y)$ .

**Лемма 31.** *Предположим, что  $2t \mid q$ , а значит, суммы  $\mathcal{P}_0^{(t)}(\theta)$ , порождённые квадратичной функцией  $\omega(y)$  являются 0-парадоксальными (см. определение 23 и теорему 29). Тогда последовательность  $\Sigma_k$ , отвечающая модифицированной функции  $\tilde{\omega}(y)$ , имеет вид*

$$(13) \quad [\Sigma_k]_{\circ} = \frac{k^2}{2t}.$$

*Доказательство.* Точки стационарности  $y_k$  образуют прогрессию с шагом  $t^{-1}q \in \mathbb{Z}$ , значит, индексы интервалов длины  $\ell$ , содержащих  $y_k$  в пределах промежутка  $[0, q)$ , можно представить в виде  $s(k) = s_0 + k \cdot H/t$ , где  $k = k_0, \dots, k_0 + t - 1$ . Следовательно, значения формы  $\Lambda(s(k))$  приобретают вид

$$\Lambda(s(k)) = \frac{(s_0 + k \cdot t^{-1}H)^2}{2H^2} = \frac{k^2}{2t^2} + \frac{ks_0}{tH} + \frac{s_0^2}{2H^2}$$

В то же время, по условию  $[t\omega(y_k) - ky_k]_{\circ} = 0$ , а, значит, с точностью до линейного слагаемого  $t\Sigma_k$  совпадает с  $[t\Lambda(s(k))]_{\circ} = k^2/2t$  и равенство (13) доказано.  $\square$

Таким образом, к нашим суммам применим итерированный метод Ван дер Корпута. Первый шаг редукции приводит к соотношению

$$\mathcal{P}^{(t)}(\theta) = \frac{1}{\sqrt{q}} \sum_{j=0}^{q-1} e^{2\pi i(t\tilde{\omega}(j)+\theta j)} = \frac{1}{\sqrt{t}} \sum_{k=1}^t e \left( \frac{k^2}{2t} + \xi_{t,\theta} k + c_{t,\theta} \right) + \mathcal{E}(t, \theta),$$

где  $\mathcal{E}(t, \theta)$  — погрешность первого шага. Общая идея состоит в том, что теперь, применяя метод Ван дер Корпута второй раз,

$$\mathcal{P}^{(t)}(\theta) = S(t, \theta) + \mathcal{E}(t, \theta) = e^{2\pi i A(t, \theta)} + \mathcal{E}(t, \theta) + \mathcal{E}'(t, \theta),$$

мы приходим к полиному степени 0 и видим, что с  $|\mathcal{P}^{(t)}(\theta)| \approx 1$  с точностью до поправок  $\mathcal{E}(t, \theta)$  и  $\mathcal{E}'(t, \theta)$ , основной вклад в которые, как мы уже знаем из раздела 3, дают  $\theta$  в окрестности точек бифуркации, когда стационарная точка, порождённая редуцированной суммой  $\mathcal{S}(t, \theta)$  подходит к границе области суммирования  $(0, t)$ . Для того, чтобы произвести оценивание поправок  $\mathcal{E}(t, \theta)$  и  $\mathcal{E}'(t, \theta)$  в  $L^1(\mathbb{T})$  вычислим параметры  $\xi_{t, \theta}$  и  $c_{t, \theta}$ . Фактически сейчас мы повторим вычисление  $\Sigma_k$ , но будем аккуратно собирать воедино все линейные слагаемые. В силу теоремы 29 (см. соотношение (12)) имеем

$$t\tilde{\omega}(y_k) = \left[ -\frac{q}{t}\theta \cdot k - \frac{q\theta^2}{2t} \right] + \left[ \frac{k^2}{2t} + \frac{ks_0}{H} + \frac{ts_0^2}{2H^2} \right],$$

где скобки  $[\dots]$  обозначают группы слагаемых, произошедшие от  $\omega(y)$  и  $\Lambda(s(k))$  соответственно. Далее, вычислим зависимость  $s_0$  от  $\theta$ ,

$$s_0(\theta) = \left[ \frac{y_1}{\ell} \right] = \left[ \frac{t^{-1}q \cdot (1 - \theta)}{\ell} \right] = \left[ \frac{H}{t} (1 - \theta) \right].$$

Значит,

$$t\tilde{\omega}(y_k) = \frac{k^2}{2t} + k \left( -\frac{q}{t}\theta + \frac{s_0}{H} \right) + \left( -\frac{q\theta^2}{2t} + \frac{ts_0^2}{2H^2} \right) \stackrel{def}{=} \eta(k)$$

и

$$\xi_{t, \theta} = -\frac{q}{t}\theta + \frac{s_0}{H} \quad \text{и} \quad c_{t, \theta} = -\frac{q\theta^2}{2t} + \frac{ts_0^2}{2H^2}.$$

Рассмотрим теперь функцию  $\eta(k)$  как функцию на  $\mathbb{R}$  и найдём стационарную точку  $k = \kappa(t, \theta)$  второго шага в цепочке редукций. Решая уравнение  $\eta'(k) = 0$ , получаем

$$\kappa(t, \theta) = -t\xi_{t, \theta} = q\theta - \frac{ts_0}{H}.$$

Оценка  $\mathcal{E}(t, \theta)$  аналогична случаю для квадратичной функции  $\omega(y)$ , которая даётся в лемме 14, с одним лишь дополнением. Теперь нам нужно просуммировать оценки для каждого из  $H$  интервалов непрерывности функции  $\tilde{\omega}(y)$ . Имеем

$$(14) \quad \|\mathcal{E}(t, \theta)\|_{L^1(\mathbb{T})} \leq H \cdot O\left(\frac{\ln q}{\sqrt{q}}\right).$$

Вторая же погрешность  $\mathcal{E}(t, \theta)$  обладает более богатым поведением. Действительно, заметим, что *бифуркация*, то есть изменение структуры множества точек стационарности в пределах области суммирования, а также последовательности  $\Sigma_k$  просходит многократно — каждый раз, когда точка  $\theta$  проходит значение  $\theta^*$ , для которого  $\kappa(t, \theta^*) \in t\mathbb{Z}$ , то есть тогда, когда одна точка стационарности редуцированной суммы покидает интервал  $(0, t)$ , а другая входит в этот интервал. Зафиксируем отдельное значение  $s_0^*$ . Легко видеть, что множество  $\{\theta: s_0(\theta) = s_0^*\}$  представляет собой промежуток длины  $tH^{-1}$ , и при этом расстояние между соседними точками бифуркации  $\kappa(t, \theta^*)$  при условии постоянства  $s_0(\theta)$  равно  $q^{-1}$ . По условию теоремы  $t \gg 1$ , а значит, поскольку  $\ell \gg 1$ ,

$$q^{-1} = \ell^{-1}H^{-1} \ll tH^{-1}.$$

Таким образом, оценка 14, точнее её структура, в точности сохраняется и для второго слагаемого  $\mathcal{E}'(t, \theta)$ , где только нужно учесть, что на втором шаге  $t$  играет роль “ $q$ ” в лемме 14,

$$(15) \quad \|\mathcal{E}'(t, \theta)\|_{L^1(\mathbb{T})} \leq O\left(\frac{\ln t}{\sqrt{t}}\right).$$

Почему в данной формуле отсутствует множитель  $H$ ? Дело в том, что функция  $k^2/2t$  не является больше разрывной на  $(0, t)$ , как это происходило с исходной частотной функцией

$\tilde{\omega}(y)$  и мы применяем лемму 14 в оригинальной формулировке. Теперь для завершения доказательства нам осталось лишь сравнить оценки (14) и (15). В самом деле, если выполнено условие  $H^3 \cdot \ln^2 q \ll q$  второй части формулировки теоремы, то

$$H \cdot \frac{\ln q}{\sqrt{q}} \ll \frac{\ln t}{\sqrt{t}},$$

и общая оценка отклонения полинома  $P^{(t)}(z)$  от единицы имеет вид  $\varepsilon(t_0) = O(t_0^{-1/2} \ln t_0)$ , где  $t_0$  — нижняя граница множества  $\tau$ . Теорема 1 доказана.

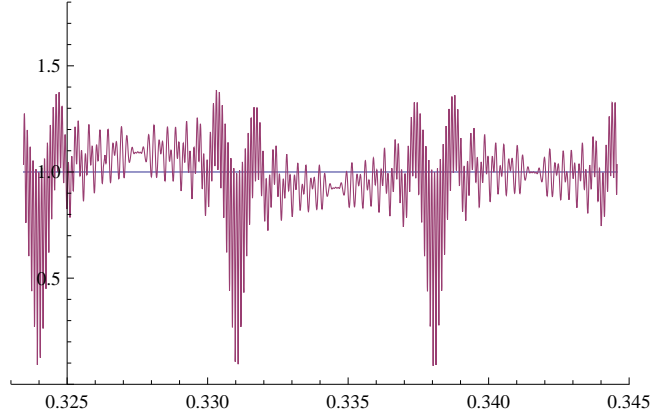


Рис. 5. Полиномы  $\mathcal{P}^{(t)}(\theta)$

**4.2. Элементарный пример.** Рассмотрим функцию

$$\tilde{\omega}(y) = \frac{y^2}{2q} + \frac{s^2}{2p_1^2 p_2^2}, \quad q = \ell \cdot p_1 p_2, \quad s = \left\lfloor \frac{y}{\ell} \right\rfloor,$$

где  $p_1, p_2$  — различные простые числа и  $2 \mid \ell$ . Заметим, что второе слагаемое является разрывной кусочно-постоянной функцией, принимающей значения  $s^2/2p_1^2 p_2^2$  на последовательных отрезках длины  $\ell$ . Рассмотрим сумму при  $t = p_1$

$$\mathcal{P}^{(p_1)}(\theta) = \frac{1}{\sqrt{q}} \sum_{j=0}^{q-1} e^{2\pi i (p_1 \omega(j) + j\theta)}.$$

Точки стационарности  $y_k$  имеют вид

$$y_k = \frac{q}{t}(k - \theta) = 2\ell p_2(k - \theta),$$

откуда  $y_{k+1} - y_k = \ell p_2$ . Значит, поскольку  $2t = 2p_1 |q|$ , в силу (12) находим

$$\Sigma_k = t\tilde{\omega}(y_k) - ky_k = t \frac{s(k)^2}{2H^2} - \frac{q}{t} \theta \cdot k - \frac{q\theta^2}{2t}.$$

Теперь вспомним, что  $s(k) = s_0 + k \cdot (\ell p_2)/\ell = s_0 + p_2 k$ , следовательно,

$$t \frac{s(k)^2}{2H^2} = \frac{(p_2 k + s_0)^2}{2p_1 p_2^2} = \frac{k^2}{2p_1} + \frac{2p_2 s_0 k + s_0^2}{2p_1 p_2^2}$$

и при этом  $k \in [1, p_1]$ . Значит, с точностью до линейного множителя

$$\left[ t \frac{s(k)^2}{2H^2} \right]_{\circ} = \frac{k^2}{2p_1} = \eta(k)$$

и сумма является  $\varepsilon$ -плоской для типичного значения  $\theta$ , поскольку  $\eta'(p_1) - \eta'(1) = 1$ .

Заметим, что, задаваясь всё более сложным набором  $\{p_1, p_2, \dots\}$ , мы будем приходить к полиному всё более высокой степени. Тем не менее, наиболее элементарные примеры допускают численное моделирование (см. рис. 5), в отличие от конструкции, опирающейся на экспоненциальную частотную функцию  $\omega_\circ(y)$ , где, как было сказано выше, важную роль играют диофантовы свойства последовательности  $k \ln k$  и даже самые простые случаи приводят к огромным значениям степени полинома  $q$ .

**4.3. Алгебраическая интерпретация формы  $\Lambda(s)$ .** Рассмотрим разложение числа  $H$  на простые сомножители:

$$H = p_1^{r_1} \cdots p_L^{r_L},$$

и пусть  $s_1, \dots, s_L$  — каноническая система координат, возникающая при изоморфизме

$$\mathbb{Z}_H \cong \mathbb{Z}_{p_1^{r_1}} \oplus \cdots \oplus \mathbb{Z}_{p_L^{r_L}}.$$

Предположим, что мы интересуемся видом данной формы с точностью до линейной функции. Тогда легко видеть, что форма  $\Lambda(s)$  обладает следующим универсальным представлением.

**Лемма 32.** *Форма  $\Lambda(s)$  на группе  $\mathbb{Z}_H$  удовлетворяет соотношению*

$$[Q(s)]_\circ = [Q(s_1, \dots, s_L)]_\circ = \frac{s_1^2}{2p_1^2} + \cdots + \frac{s_L^2}{2p_L^2},$$

причём данная форма представления не зависит от выбора системы координат.

Кроме того, отметим, что форма  $\Lambda(s)$ , если не производить факторизацию по линейным функциям, не является корректно определённой функцией на группе  $\mathbb{Z}_H$ , и если продолжать  $\Lambda(s)$  вдоль некоторой орбиты преобразования сдвига, то возникает соответствующее *действие монодромии*.

Автор благодарен участникам семинара “Теория и статистическая физика” под руководством Б.М. Гуревича, В.И. Оселедца и С.А. Пирогова, семинара “Современные проблемы теории чисел” под руководством С.В. Конягина и И.Д. Шкредова, а также участникам “Петербургского семинара по теории представлений и динамическим системам” под руководством А.М. Вершика за проявленный интерес к данной работе и полезные замечания.

#### СПИСОК ЛИТЕРАТУРЫ

1. El H. El Abdalaoui, F. Parreau, and A.A. Prikhod'ko, *A new class of Ornstein transformations with singular spectrum*, Annales de l'Institut Henri Poincaré (B) Probability and Statistics **42** (2006), no. 6, 671–681.
2. F. Amoroso, *Sur le diamètre transfini entier d'un intervalle réel*, Ann. Inst. Fourier Grenoble **40** (1990), 885–911.
3. E. Bombieri and J. Bourgain, *On Kahane's ultra-flat polynomials*, J. Eur. Math. Soc. **11** (2009), no. 3, 627–703.
4. J. Bourgain, *On the spectral type of ornstein class one transformations*, Isr. J. Math. **84** (1993), 53–63.
5. A.I. Danilenko, *Funny rank-one weak mixing for nonsingular Abelian actions*, Isr. J. Math. **121** (2001), 29–54.
6. T. Downarowicz and Y. Lacroix, *Merit factors and morse sequences*, Theoretical Computer Science archive **209** (1998), no. 1–2, 377–387.
7. G.H. Hardy and J.E. Littlewood, *Some problems of diophantine approximation: A remarkable trigonometric series*, Proc Natl Acad Sci U S A **10** (1916), no. 2, 583–586.
8. K. Goto, *Some results on littlewood's problem and orlicz's problem*, Math. J. Okayama Univ. **41** (1999), 121–136.

9. M. Guenais, *Morse cocycles and simple lebesgue spectrum*, Ergodic Theory and Dynamical Systems **19:2** (1999), 437–446.
10. D.R. Heath-Brown, *The Pjateckiĭ–Šapiro prime number theory*, J. Number Theory **16** (1983), 242–266.
11. J.-P. Kahane, *Sur les polynômes à coefficients unimodulaires*, Bull. London Math. Soc. **12** (1980), 321–342.
12. I. Klemes, *The spectral type of staircase transformations*, Thohoku Math. J. **48** (1994), 247–258.
13. I. Klemes and K. Reinhold, *Rank one transformations with singular spectre type*, Isr. J. Math. **98** (1997), 1–14.
14. G. Kolesnik, *On the order of  $\zeta(1/2 + it)$  and  $\Delta(R)$* , Pacific J. Math. **98** (1982), no. 1, 107–122.
15. S. Konjagin, *On a question of Pichorides*, C. R. Acad. Sci. Paris Sér I Math. **324** (1997), 385–388.
16. J.E. Littlewood, *On the mean values of certain trigonometrical polynomials*, J. London Math. Soc. **36** (1961), 307–334.
17. ———, *On polynomials,  $\sum^n \pm z^m$ ,  $\sum^n e^{\alpha_n i} z^m$ ,  $z = e^{\theta i}$* , J. London Math., Soc. **41** (1966), 367–376.
18. H.-Q. Liu, *On a fundamental result in van der Corput's method of estimating exponential sums*, Acta Arithmetica **XC.4** (1999), 357–370.
19. M. Lemańczyk, *Spectral Theory of Dynamical Systems*, *Encyclopedia of Complexity and System Science*, Springer Verlag, 2009.
20. S.H. Min, *Methods in Number Theory (in Chinese)*, **2** (1981).
21. F.L. Nazarov, *Local estimates of exponential polynomials and their applications to the inequalities of uncertainty principle type*, St. Petersburg Math. J. **5** (1994), 663–717.
22. D.S. Ornstein, *On the root problem in ergodic theory*, Proc. 6th Berkley Sympos. Math. Statist. Probab., Univ. Calif. **2** (1970), 347–356.
23. P. Borwein and T. Erdélyi and G. Kós, *Littlewood-type problems on  $[0, 1]$* , Proc. London Math. Soc. **79** (1999), no. 3, 22–46.
24. P. Erdős, *An inequality for the maximum of trigonometric polynomials*, Annales Polonica Math. **12** (1962), 151–154.
25. E. Phillips, *The zeta-function of Riemann, further developments of van der Corput's method*, Quart. J. Math. **4** (1933), 209–225.
26. A.A. Prikhod'ko, *On flat trigonometric sums and flows with simple Lebesgue spectrum*, Preprint, ArXiv:1002.2808v1. To appear in Sb. Math. (2012), 1–27.
27. ———, *On group actions with simple Lebesgue spectrum*, Preprint, ArXiv:1111.0230v1, (2012), 1–16.
28. V.A. Rokhlin, *On the fundamental ideas of measure theory*, Mat. Sb. (N.S.) **25** (1949), no. 67, 107–150.
29. T. Erdélyi, *Polynomials with littlewood-type coefficient constraints*, Approximation Theory X: Abstract and Classical Analysis, Charles K. Chui, Larry L. Schumaker, and Joachim Stockler (Eds.) (2002), 153–196.
30. E.C. Titchmarsh, *The Theory of the Riemann Zeta-Function*, 2<sup>nd</sup> ed., revised by D.R. Heath-Brown, Oxford, 1986.
31. J.G. van der Corput, *Zahlentheoretische Abschätzungen*, Math. Ann. **87** (1922), 53–79.
32. A.M. Vershik, *A theorem on periodic Markov approximation in ergodic theory*, J. Sov. Math. **28** (1985), 667–674.
33. ———, *The pascal automorphism has a continuous spectrum*, Funct. Anal. Appl. **45** (2011), no. 3, 173–186.